

熊大工 正会員 田淵勝修, 同 滝川清, 学生会員○根本武揚

1. 流体抵抗の表示について 1次元運動を考える。空隙内の実質流速 U は、断面平均流速 U と $U = EU'$ (E は空隙率) の関係がある。Dupuit の仮定一とすると、単位体積当たりの流体抵抗を F 、圧力を p 、流体の密度を ρ として透過層内の運動方程式及び F は次のようく表示できる。

$$\frac{1}{E} \frac{\partial U}{\partial t} = -\frac{1}{\rho} \frac{\partial p}{\partial x} - \frac{1}{\rho} F, \quad \frac{F}{\rho} = f_t \cdot \frac{U}{R^2} U + f_p \frac{1}{2R} |U| \cdot U + \frac{1-E}{E} C_D \frac{\rho U}{2}$$
 (1)

ここで f_t は流体の動粘性係数、 R は $R = ET/S$ (T : 透過層の全容積、 S : われ面積) で定義される hydraulic radius である。ここで流速と同位相の抵抗(抵抗力)を次式の様に表示して線形抵抗 f_t と抗力係数 C_D を定義する。

$$\frac{F}{\rho} = f_t \cdot \frac{U}{R^2} U + f_p \frac{1}{2R} |U| \cdot U = f_t \frac{U}{R^2} U = C_D \cdot \frac{1}{R^2} |U| \cdot U$$
 (2)

振動流の場合の諸量を () u 、定常流の場合(振動数 $f=0$) については () s をつけて示すと

$$(f_t)_s = (f_t)_u + \frac{1}{2} (f_p)_s \cdot (Re)_s, \quad (C_D)_s = \frac{2(f_t)_s}{(Re)_s} + (f_p)_s, \quad (f_t)_s = (Re)_s \cdot C_D$$
 (3)

$$(f_t)_u = (f_t)_s + \frac{4}{3\pi} (Re)_u \cdot (f_p)_u, \quad (C_D)_u = \frac{3\pi}{4} \cdot (Re)_u \cdot (f_t)_u + (f_p)_u, \quad (f_t)_u = \frac{4}{3\pi} \cdot (Re)_u \cdot (C_D)_u$$
 (4)

振動流については Lorentz の等価仕事則を適用した。 $(Re)_s = UR/V$, $(Re)_u = U_0 R/V$ (U_0 は振動流速を $U = U_0 \sin 2\pi ft$ とした時の最大流速) は Reynolds 数である。以下、角材及び塩ビ管により構成された透過層の場合の抵抗について、実験により得られた結果を 2, 3 報告する。

2. 抗力係数 C_D と透過層境界面における抵抗について 透過層に作用する流体力すなわち流体抵抗は 透過層空隙内部における粘性及び流れの乱れの作用によるエネルギー散逸によって生じるが、その作用は透過層内部のみで一様に生じるのではなく、透過層界面(流体域と透過層域との境界面)の流水断面積が急激に変化する付近では特に大きい事が分った。

これを例えれば定常流の場合の $(C_D)_s$ についてみると、図-1 の [I-1] 及び [II-1] は透過層のみの $(C_D)_s$ [I-2], [II-2] は境界面抵抗を含めた $(C_D)_s$ を示している。この場合、境界面抵抗が内部抵抗の約 8割(もとめてあり)透過層の長さが短い場合、無視できないことが分かる。同図の [I-3], [II-3] は境界面(上・下流両面を含む)の単位面積当たりの抵抗を示すものである。これらは各々の $(C_D)_s$ 及び f から計算される。図-1 の [III], [IV] は C_D 及び f による違いを示したものである。(本報告に掲げた振動流の場合の実験結果はいずれも実験装置の関係で内部抵抗と境界面抵抗は分離してない。)

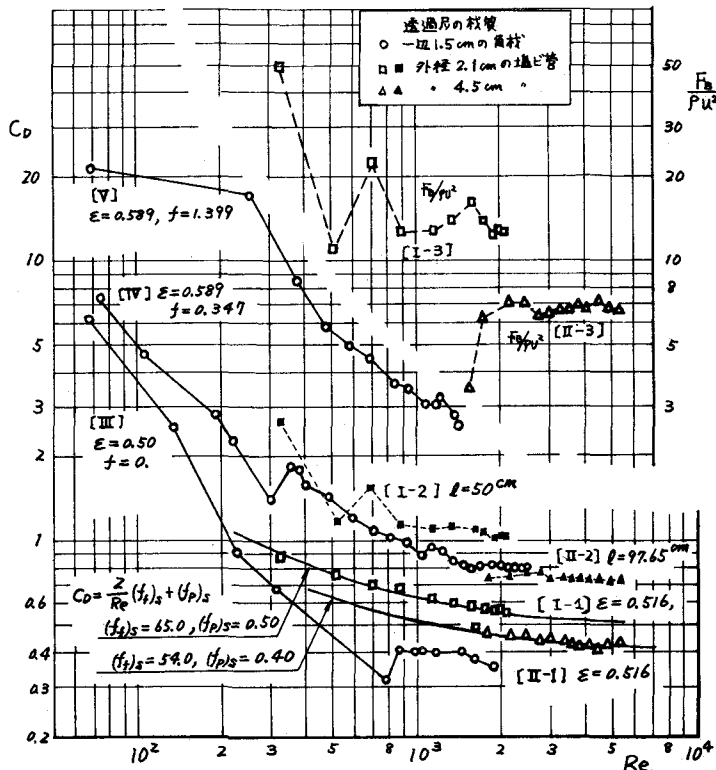


図-1 抵抗係数 および 範界面抵抗係数

3. 附加質量について 透過層内における流体の加速度に比例する抵抗いわゆる質量力は

$$F_m = M'' \frac{1}{E} \frac{\partial u}{\partial t} + (1+C_m) M'' \frac{1}{E} \frac{\partial^2 u}{\partial x^2}, (M'' = E \delta T), M'' = (1-\varepsilon) \delta T \quad (5)$$

と示される。第1項は透過層内の流体を加速するために費やされる抵抗で第2項は附加質量力である。一般に附加質量力は運動方程式中に入ってくる(上式中 $M'' \frac{1}{E} \frac{\partial^2 u}{\partial x^2}$)ので、特に外力として考慮しないという考え方もあるが、実質流速ではなく平均流速を用いる透過層内の流体運動の場合、空隙率の効果のみしか評価されず(物体が加速運動する時の C_m に対し、流体が運動するときは $1/(1+\varepsilon)$ 大きい)この $1/(1+\varepsilon)$ 透過層を構成する物体の形状に関係する附加質量力は与えられない。 ε ってこれについては実験的に求めめる必要がある。図-2に実験結果の一例を示す。ここで C_m を考慮するには計算上は仮想の空隙率 $\varepsilon' = \varepsilon / (1+C_m)$ を用いることに相当。井筒敷設による透過性海岸構造物ではこのだけ参考で計算されており例えば実験模型の $\varepsilon = 0.51$ 、計算上の $\varepsilon' = 0.300$ のとき、 $C_m = 0.7$ となる。

4. 線形抵抗係数について 透過層

内の水理現象を理論的に解析する場合。

基本式が非線形なことは反対を避けるため大線形抵抗を仮定することが多く、RLの特性を調べる意義はここにある。RLを支配する要素は多く、その相似則の確立(実験結果に指値を現場に適用可能か)には未だ至っていないが、定性的な特性は $(f_L)_u$ 、 $(f_p)_u$ の特性と合わせて考慮することにより、かなり明らかになる。図3は直径 1.8 cm の塩ビ管で構成した透過層における $(k_L)_u$ と式(2)で $f_0 = (\mu_s/\sigma) \cdot u$ ($\sigma = 2\pi f$)としたときの μ_s/σ の $(Re)_u$ 、 f および u_0/d_0 (これは粒子の移動距離と透過層構成材の代表径の比)の関係を示したものである。 u_0/d_0 が小さい時は構成材の境界層は剥離せず抵抗は層流振動境界層によるものと支配的と考えられ、 $(k_L)_u$ ($\approx (f_p)_u$ 、式(4)で $(f_p)_u \approx 0$ とおいて)は、十分大きいほど大きく $(Re)_u$ に余り関係しない。 u_0/d_0 又は $(Re)_u$ が大きくなり境界層が剥離すると、空隙内に乱流域が拡がり $(f_p)_u$ が $(k_L)_u$ の特性を支配するようになる。なお $(f_p)_u$ の f 及び $(Re)_u$ の関係は小さい。本研究は現在も継続中であり、詳細は別の機会に発表したい。

参考文献: 横武士他(1975)"透過壁体の流体抵抗と直立防波堤への適用"第22回海講論文集

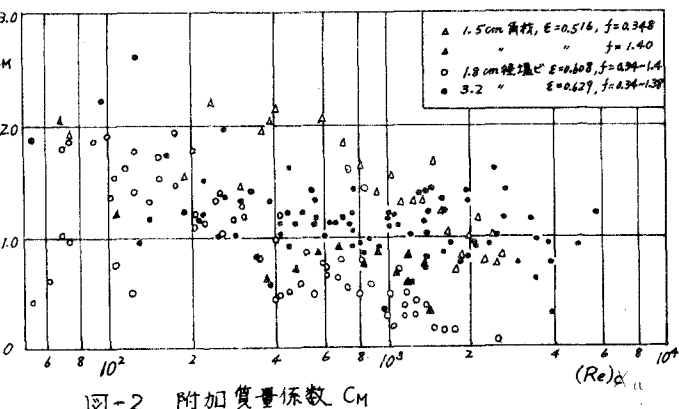


図-2 附加質量係数 C_m

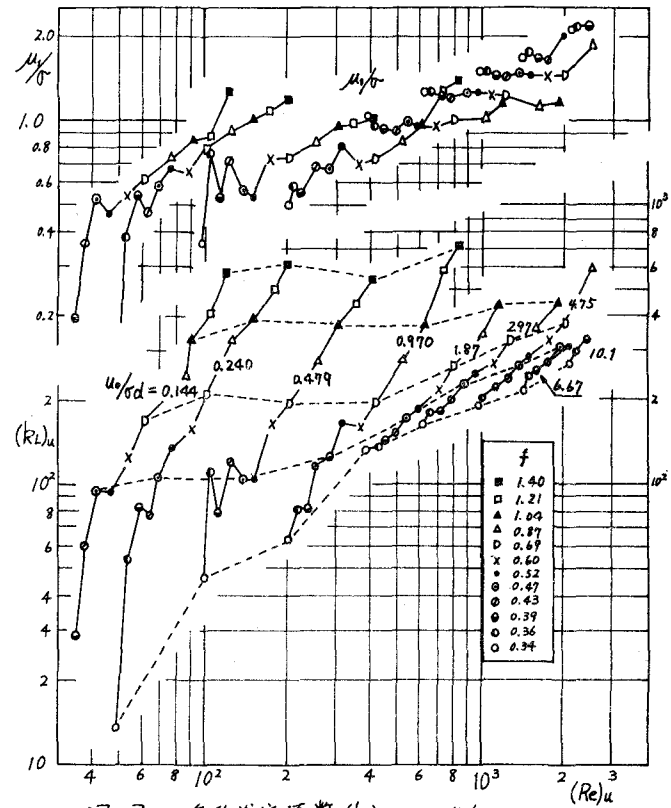


図-3 線形抵抗係数 $(k_L)_u$ 及び μ_s/σ